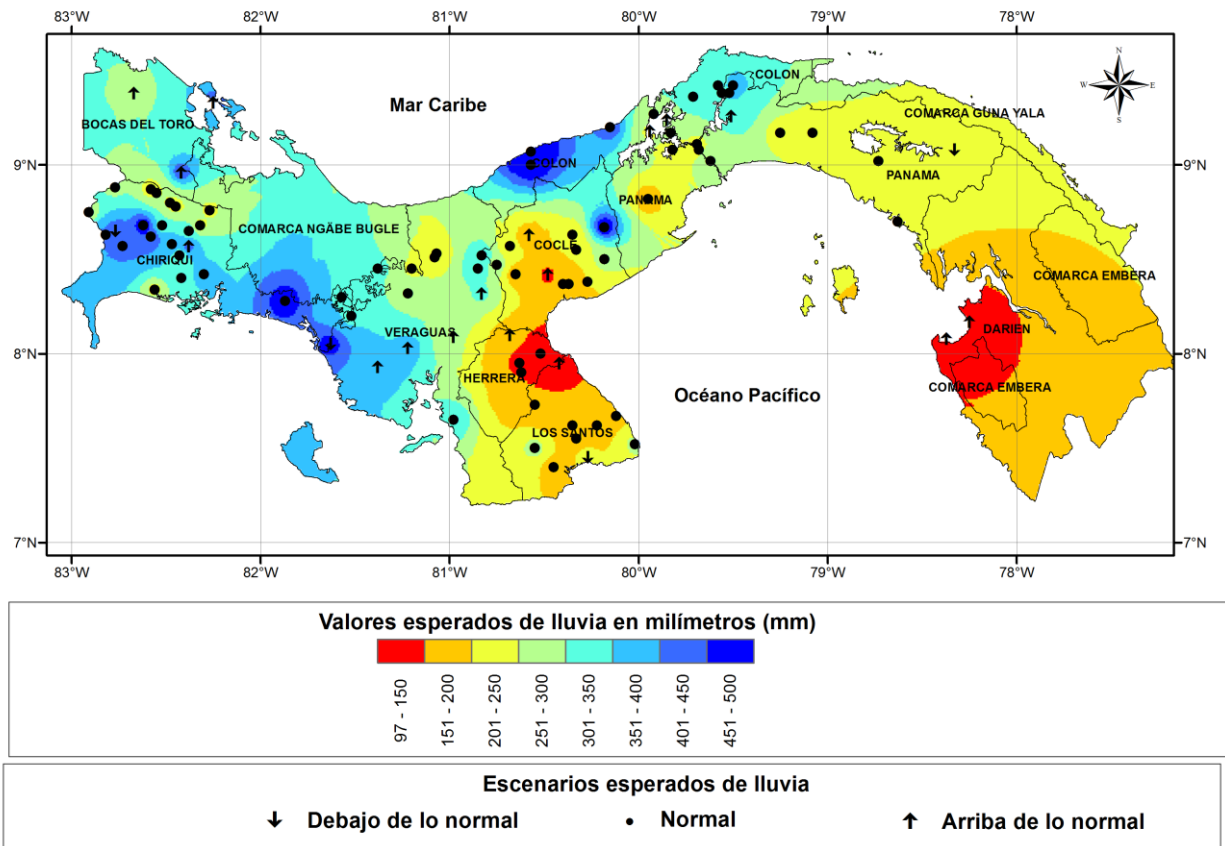


EMPRESA DE TRANSMISIÓN ELÉCTRICA, S. A.
 DIRECCIÓN DE HIDROMETEOROLOGÍA
 GERENCIA DE INVESTIGACIÓN Y APLICACIONES CLIMÁTICAS

Pronóstico mensual de lluvia para Panamá de julio de 2016

Mapa 1. Valores y escenarios de lluvia esperados para el mes de julio de 2016.



Nota. En la Tabla 2 se amplia con mayor detalle el escenario esperado de lluvia por estación, mostrado en el Mapa 1.

Tabla 1. Equivalencia de la simbología utilizada para clasificar los escenarios de lluvia de cada una de las estaciones meteorológicas.

Debajo de lo normal	Normal con tendencia a debajo		Normal	Normal con tendencia a arriba		Arriba de lo normal
↓↓↓	↓↓	↓	•	↑	↑↑	↑↑↑

Tabla 2. Escenario esperado de lluvia para el mes de julio de 2016 para cada estación meteorológica, clasificado según los registros históricos (1981-2010).

Provincia	Estación meteorológica	Rango normal de lluvia (mm)		Escenario esperado
		Límite inferior	Límite superior	
Bocas del Toro	Bocas del Toro	299	411	↑↑↑
	Changuinola Sur	362	460	↑↑
	Sieyik	215	284	↑
Chiriquí	Angostura de Cochea	307	425	↑↑↑
	Bajo Grande	230	261	•
	Breñon	352	426	•
	Caldera (Pueblo Nuevo)	259	405	•
	Camarón Tabasará	455	596	↓
	Cañas Gordas	192	290	•
	Cermeño	276	374	•
	Cerro Iglesia	302	425	•
	Cerro Punta	187	219	•
	Cuesta de Piedra	396	587	•
	David	280	367	•
	Finca Lérida	214	286	•
	Fortuna (Casa Control)	191	283	•
	Gómez Arriba	394	481	•
	Las Martinas	197	267	•
	Los Naranjos	171	261	•
	Los Palomos	354	449	•
	Macano Arriba	371	544	•
	Paja de Sombrero	187	316	•
	Piedra Candela	219	312	•
Potreriño Arriba	241	347	•	
San Félix	425	511	•	
Santa Cruz	365	531	↓	
Veladero Gualaca	350	457	•	
Coclé	Antón	128	210	•
	Chiguirí Arriba	384	611	•
	El Cope	121	190	↑
	Las Huacas de Quijé	250	369	•
	Las Sabanas	170	241	•
	Olá	120	192	•
	Puerto Posada	138	182	•

Provincia	Estación meteorológica	Rango normal de lluvia (mm)		Escenario esperado
		Límite inferior	Límite superior	
	Río Grande	95	144	↑
	Río Hondo	140	165	•
	Santa Rita	242	325	•
	Sonadora	173	206	•
	Toabre	178	239	•
Colón	Agua Clara	300	382	•
	Caño	163	233	•
	Coclé del Norte	517	590	•
	Escandalosa	269	420	•
	Gamboa	201	259	•
	Gatún Rain	245	345	•
	Guacha	201	237	↑
	Icacal	409	489	•
San Lucas	422	533	•	
Darién	Garachine	101	139	↑
	Taimatí	101	139	↑
Herrera	Divisa	139	191	↑
	Llano de la Cruz	108	178	•
	Parita	84	118	•
	Pesé	136	183	•
Los Santos	Cañas	212	262	↓
	El Cañafistulo	127	175	•
	La Llana	247	289	•
	La Miel	181	218	•
	Los Santos	82	109	↑
	Macaracas	142	185	•
	Pedasí	240	296	•
	Pocrí	150	223	•
	Tonosí	145	187	•
Valle Rico	120	177	•	
Panamá	Barro Colorado	235	310	•
	Caimito	123	168	•
	Candelaria	278	443	•
	Cascadas	213	264	•
	Chepo	171	225	•
	Chico	281	351	↑
	Chiman	160	224	•
	Loma Bonita	162	237	•
	Montelirio	236	301	↑↑
	Pedro Miguel	248	280	•
	Peluca	252	369	•
	Piriá (Poblado)	221	278	↓
	Río Majé	170	256	•

Provincia	Estación meteorológica	Rango normal de lluvia (mm)		Escenario esperado
		Límite inferior	Límite superior	
	San Miguel	313	455	•
	Tocumen	252	315	↑↑
Veraguas	Calobre	267	337	•
	Cañazas	306	404	•
	Cerro Verde	239	358	•
	El Cobrizo	234	338	↑↑↑
	El Marañón	200	293	•
	El Palmar	290	392	•
	Laguna La Yeguada	193	330	•
	Los Valles	267	395	•
	Mariato	302	390	•
	Ojo de Agua	173	224	•
	Santa Fe	218	259	↑
	Santiago	335	381	↑↑
	Cative	299	411	↑↑↑

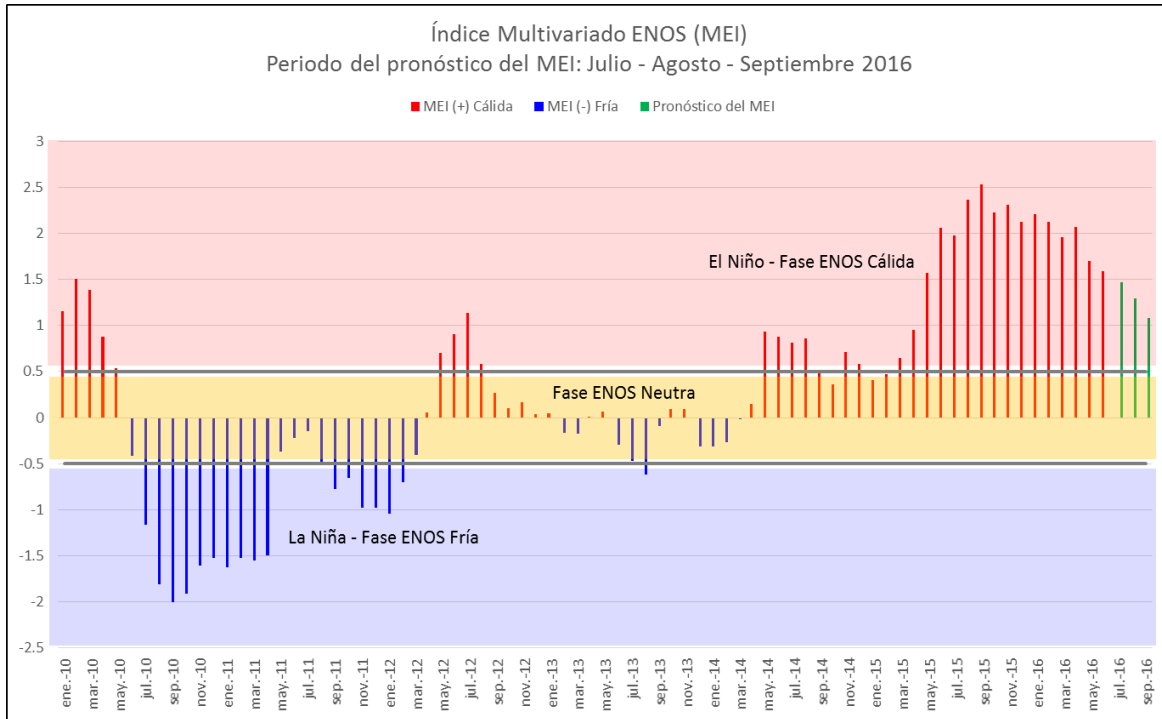
Nota. los escenarios de lluvia clasifican, según la climatología de cada región (ver Tabla 2), si los valores de lluvia esperados son: normales, bajo de lo normal o arriba de lo normal.

Consideraciones especiales

Según el Informe de discusión del CENTRO DE PREDICCIONES CLIMÁTICAS (CPC)/NCEP/NWS y el Instituto Internacional de Investigación para el Clima y la Sociedad (IRI), con fecha del 9 de junio de 2016, se evidencia una disipación del fenómeno del niño en la región 3.4 (5°N-5°S, 120°W-170°W) con tendencia ENOS-neutral según los modelos estadísticos y dinámicos de la temperatura de la superficie del mar (SST, por su siglas en inglés).

Por otro lado, el pronóstico de SST del CPC/IRI, con fecha del 16 de junio de 2016, advierte una ocurrencia del fenómeno de La Niña con una probabilidad del 57% durante el trimestre julio, agosto y septiembre de 2016.

Gráfica 1. Registros del Índice Multivariado del ENOS (MEI, por sus siglas en inglés) para el periodo de enero de 2010 a junio de 2016 y sus respectivos pronósticos para los meses de julio, agosto y septiembre de 2016.



Nota. El MEI es un indicador para monitorear el fenómeno de El Niño – Oscilación del Sur (ENOS), éste se basa en las seis principales variables observables sobre el Océano Pacífico Tropical: presión al nivel del mar (P), componentes de viento superficial zonal (U) y meridional (V), temperatura sobre la superficie del mar (SST), temperatura del aire en superficie (A) y fracción total de nubosidad en el cielo (C). El área de la gráfica sombreada en rojo, muestra valores positivos del MEI y están relacionados con las fases cálidas del ENOS (también denominada El Niño). El área de la gráfica sombreada en azul, muestra valores negativos del MEI y están relacionados con las fases frías del ENOS (también denominada La Niña). Los valores del MEI dentro de la franja amarilla están relacionados con la fase neutra del ENOS.

Según la Gráfica 1, el pronóstico del MEI para los meses de julio, agosto y septiembre de 2016 indica una transición de condiciones positivas del MEI a neutras, es decir que las condiciones océano-atmosféricas estarán retornando a su patrones normales, favoreciendo así las condiciones de obtener lluvias normales durante este trimestre.

Fuentes:

- http://www.cpc.ncep.noaa.gov/products/analysis_monitoring/enso_advisory/ensodisc_Sp.pdf
- <http://iri.columbia.edu/our-expertise/climate/forecasts/enso/current/>
- http://iri.columbia.edu/our-expertise/climate/forecasts/enso/current/?enso_tab=enso-sst_table